

الفصل الثالث

نقاطٌ على استقامةٍ واحدةٍ

الثنوية Duality

في الهندسة الإقليدية، هناك أوضاع كثيرة تظهر فيها علاقات بين النقاط والمستقيمات، وفي الحالة التي تتعلق بشأن النقاط والمستقيمات في المستوى، عندما نضع كلمة نقطة محل الكلمة مستقيم وكلمة مستقيم محل الكلمة نقطة في العبارات التي نستخدم فيها هاتين الكلمتين، فإن العبارة الجديدة يقال عنها إنها ثانية العبرة الأصلية. وفي بعض الأحيان قد تحتاج العبارة إلى بعض التعديلات لتحافظ على بنيتها الرياضية السليمة.

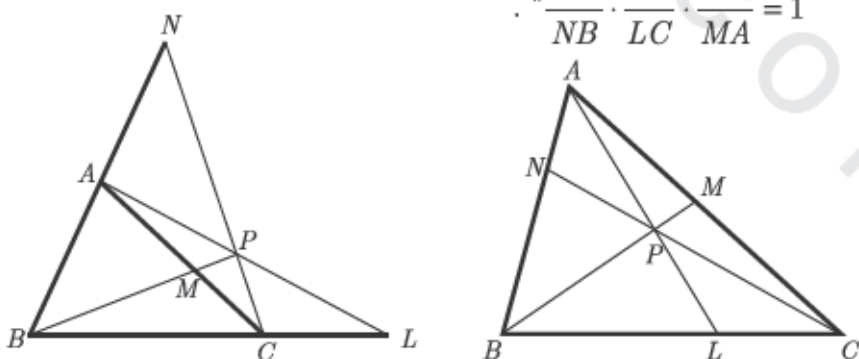
وقد اكتشف تشارلز جولييان برياشون (Charles Julien Brianchon ١٧٨٥ - ١٨٦٤) مبدأ الثنوية أو المقابلة أثناء استخدام هذه العلاقة على نظرية باسكال، وسوف نتطرق إلى هذه النظريات لاحقاً في هذا الفصل. وعند انتقالنا من الفصل الثاني إلى الفصل الثالث سنأخذ في اعتبارنا مبدأ الثنوية أو المقابلة؛ وذلك لأن التقاطع في نقطة بالنسبة للمستقيمات يقابل وضع نقاط على استقامة واحدة بالنسبة للنقاط. إن المقصود الأول من هذا الفصل هو وقوع نقاط على استقامة واحدة. دعونا أولاً نقدم مثالاً على مبدأ الثنوية أو المقابلة.

العبارة المقابلة

العبارة

- ١- أي مستقيمين مختلفين (غير متوازدين ولا متطابقين) يعينان نقطة وحيدة .
 - ٢- أي مستقيم يحوي عدداً غير متناهٍ من النقاط .
 - ٣- بثلاث نقاط ليست على استقامة واحدة تحصل على ثلاثي أضلاع وحيد .
- المثال الأخير** يوضح أننا يجب أن نعدل قليلاً عند صياغة العبارة المقابلة ؛ ولذا ، وعلى وجه التحديد نجد أن "التقاطع في نقطة واحدة" concurrent يقابل "نقطاً على استقامة واحدة" collinear كما في لفظ "مثلاً" triangle ، والمقابل لها لفظ "ثلاثي أضلاع" trilateral .
- والأآن دعونا نستدعي نظرية شيئاً مرة أخرى (انظر الشكل ١ - ٣) والتي تنص على أنه "إذا كان لدينا ثلاثة مستقيمات تحوي الرؤوس A, B, C من المثلث ABC ، وتقطع الأضلاع المقابلة في النقاط L, M, N على الترتيب ، فإنها تقاطع في نقطة واحدة إذا وفقط إذا كان

$$\cdot \frac{AN}{NB} \cdot \frac{BL}{LC} \cdot \frac{CM}{MA} = 1$$



شكل ٣ - ١

و قبل ذلك ، نستطيع أن نقول إنه في معظم الأحيان فإن ثانية (مقابل) المسلمة هو أيضاً مسلمة ، وأن ثانية (مقابل) التعريف هو أيضاً تعريف ، وبالتالي في معظم الأحيان أيضاً ، فإنه إذا كانت العبارة نظرية ، فإن ثانية لها (مقابلها) بالمثل هو نظرية * .

و على أي حال ، فنحن في النهاية نود أن نstalk عبارة تكون مؤهلة لتصبح نظرية . على وجه التحديد ، ماذا نريد أن نبحث هنا؟ مع معرفتنا بمبدأ الثانية ، سنحاول صياغة العبارة المقابلة لنظرية شيفا ، والتي هي في الواقع إعادة اكتشاف للنظرية المهملة للرياضي الإسكندرى المعروف منيلوس Menelaus ** والتي سوف نناقشها في الجزء القادم ، وهي التي قادت جيوفاني شيفا لاستنتاج نظريته التي ظهرت في كتابه الأول (ميلانو ١٦٧٨) بواسطة مبدأ الثانية - لاحظ نظرية منيلوس التالية وعلاقة التقابل بين النظريتين .

النقاط الثلاث P, Q, R والتي تقع على الترتيب على الأضلاع $\overline{AC}, \overline{AB}, \overline{BC}$ في المثلث ABC (انظر الشكل ٢ - ٣) تكون على استقامة واحدة

$$\text{إذا وفقط إذا كان : } \frac{AQ}{QB} \cdot \frac{BR}{RC} \cdot \frac{CP}{PA} = -1 \text{ *** .}$$

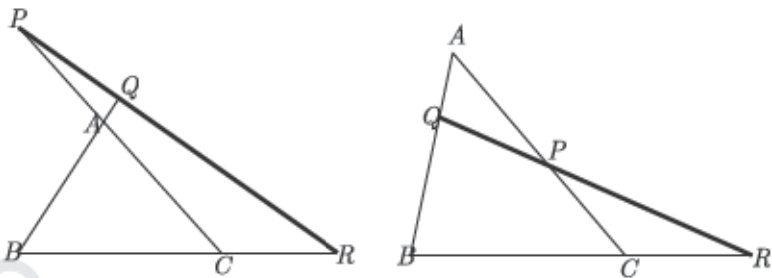
نظرية منيلوس Menelaus's Theorem

قدم منيلوس الإسكندرى (١٠٠ بعد الميلاد) في عمله الذي يحمل عنوان "الكروية" نظريته المعروفة والتي نقدمها هنا ، مطبقاً ذلك في المستوى أولاً ، بغرض تطوير أطروحته الأصلية على الأشكال

* يتفرد النظام الهندسي بأنه يستند إلى مسلمات وتعريفات ، وتكون ثانية تلك العبارات كلها صحيحة ، وثانية كل نظرية هي أيضاً صحيحة ، ويبين ذلك الادعاء أن برهان ثانية النظرية يتم استنتاجه بسهولة باستبدال كل عبارة في هذا البرهان بالعبارة الثانية لها (المقابلة لها) في النظرية الأصلية .

.. في العصور المظلمة ، كثير من الرياضيات اليونانية التقليدية فقدت ونسخت .

... سيتم توضيح سبب وجود الإشارة السالبة عند شرح إثبات النظرية .



شكل 3 - 2

ال Kroovia * ، وكما ذكرنا فإن هذه النظرية التي تحمل اسم ميلوس لم تدخل حيز الشهرة قبل إعادة إحيائها بواسطة جيوفاني شييفا كجزء من عمله في عام ١٦٧٨ م.

نظريّة ٣ - ١

(نظريّة ميلوس) النقاط الثلاث P, Q, R والتي تقع على الترتيب على الأضلاع $\overline{AC}, \overline{AB}, \overline{BC}$ في المثلث ABC (انظر لشكل ٢ - ٣) تكون على استقامة واحدة إذا وفقط إذا كان

$$\frac{AQ}{QB} \cdot \frac{BR}{RC} \cdot \frac{CP}{PA} = -1$$

كما في نظرية شييفا، فإننا نحتاج أن نتحرك في اتجاهين عند الإثبات، فلدينا عبارتان وسنستخدم واحدة للوصول إلى الأخرى ثم العكس، وسنبدأ أولاً بإثبات أنه

* الصورة الكروية الم対اظرة لنظرية ٣ - ١ في المثلث الكروي ABC : $\frac{\sin \widehat{AQ}}{\sin \widehat{QB}} \cdot \frac{\sin \widehat{BR}}{\sin \widehat{RC}} \cdot \frac{\sin \widehat{CP}}{\sin \widehat{PA}} = -1$

إذا كانت النقاط P, Q, R تقع على الترتيب على الأضلاع في $\overline{AC}, \overline{AB}, \overline{BC}$

$$\cdot \frac{AQ}{QB} \cdot \frac{BR}{RC} \cdot \frac{CP}{PA} = -1$$

المثلث ABC تكون على استقامة فإن

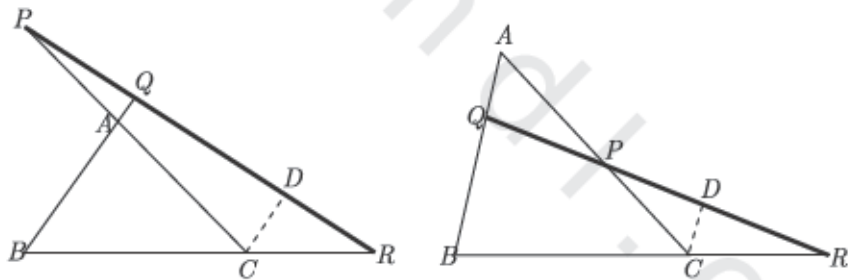
البرهان I

نرسم من النقطة C المستقيم CD يوازي \overline{AB} ويقطعه في D (انظر الشكل

.(3 - 3

$$\Delta DCR \sim \Delta QBR \Rightarrow \frac{DC}{QB} = \frac{RC}{BR} \quad \text{or} \quad DC = \frac{(QB)(RC)}{BR} \quad (\text{I})$$

$$\Delta PDC \sim \Delta PQA \Rightarrow \frac{DC}{AQ} = \frac{CP}{PA} \quad \text{or} \quad DC = \frac{(AQ)(CP)}{PA} \quad (\text{II})$$



شكل 3 - 3

من (I), (II) نحصل على :

$$\frac{(QB)(RC)}{BR} = \frac{(AQ)(CP)}{PA} \quad \text{or} \quad (QB)(RC)(PA) = (AQ)(CP)(BR)$$

وهذا يعني أن :

$$\frac{AQ}{QB} \cdot \frac{BR}{RC} \cdot \frac{CP}{PA} = 1$$

باتخاذ الاتجاه في الاعتبار في الرسم الأيسر من الشكل 3 - 3 سنرى أن النسب

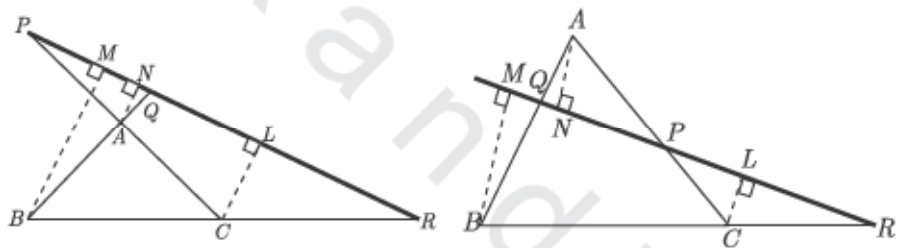
كلها سالبة بينما على الرسم الأيمن سنجد أن النسبة $\frac{BR}{RC}$ هي

$$\frac{AQ}{QB}, \frac{CP}{PA}, \frac{BR}{RC}$$

النسبة الوحيدة السالبة ؛ ولذا ففي الحالتين عدد فردي من النسب السالبة أي أن

$$\bullet \cdot \frac{AQ}{QB} \cdot \frac{BR}{RC} \cdot \frac{CP}{PA} = -1$$

II البرهان



شكل 3 - 4

مرة ثانية، سنبدأ بفرض أن النقاط P, Q, R تقع على استقامة واحدة، ثم نرسم $\overline{CL} \perp \overline{PR}$. وكذلك نرسم $\overline{BM} \perp \overline{PR}$, $\overline{AN} \perp \overline{PR}$ (انظر الشكل 3 - 4).).

$$\Delta BMQ \sim \Delta ANQ \Rightarrow \frac{AQ}{QB} = \frac{AN}{BM} \quad (I)$$

$$\Delta LCP \sim \Delta NAP \Rightarrow \frac{CP}{PA} = \frac{LC}{AN} \quad (II)$$

$$\Delta MRB \sim \Delta LRC \Rightarrow \frac{BR}{RC} = \frac{BM}{LC} \quad (III)$$

من (I), (II), (III) نحصل على :

$$\frac{AQ}{QB} \cdot \frac{CP}{PA} \cdot \frac{BR}{RC} = \frac{AN}{BM} \cdot \frac{LC}{AN} \cdot \frac{BM}{LC} = 1$$

في الرسم الأيسر من الشكل 4 - 3 سنرى أن $\frac{AQ}{QB}$ نسبة سالبة وكذلك

نسبة سالبة ، إذن :

$$\frac{AQ}{QB} \cdot \frac{BR}{RC} \cdot \frac{CP}{PA} = -1$$

وفي الرسم الأيمن من الشكل 4 - 3 سنرى أن $\frac{AQ}{QB}, \frac{CP}{PA}$ نسبة سالبة موجباتان بينما

$$\frac{AQ}{QB} \text{ نسبة سالبة ، إذن : } \frac{AQ}{QB}$$

$$\frac{AQ}{QB} \cdot \frac{BR}{RC} \cdot \frac{CP}{PA} = -1 \quad \bullet$$

لإكمال برهان نظرية ميلوس علينا أن ثبت عكس ما أثبتناه سابقاً، أي سنشتبه الآن أنه إذا كانت النقاط الثلاث P, Q, R تقع على المستقيمات $\overline{AC}, \overline{AB}, \overline{BC}$ على الترتيب بحيث $-1 = \frac{AQ}{QB} \cdot \frac{BR}{RC} \cdot \frac{CP}{PA}$

فإن P, Q, R تقع على استقامة واحدة.

البرهان

في الشكل 2 - 3 نفرض أن المستقيم الذي تقع عليه النقطتان R, Q يقطع في النقطة P' ، ويكتننا استخدام الجزء الذي أثبتناه في النظرية آنفاً. نعلم أن :

$$\frac{AQ}{QB} \cdot \frac{BR}{RC} \cdot \frac{CP'}{P'A} = -1$$

ولكن لدينا الفرضية (المعطى) التي تقول :

$$\cdot \frac{AQ}{QB} \cdot \frac{BR}{RC} \cdot \frac{CP}{PA} = -1$$

إذن $\frac{CP'}{P'A} = \frac{CP}{PA}$ ، أي أن النقطة P تنطبق على النقطة P' ، وهذا يثبت وقوع

النقاط الثلاث على استقامة واحدة . ●

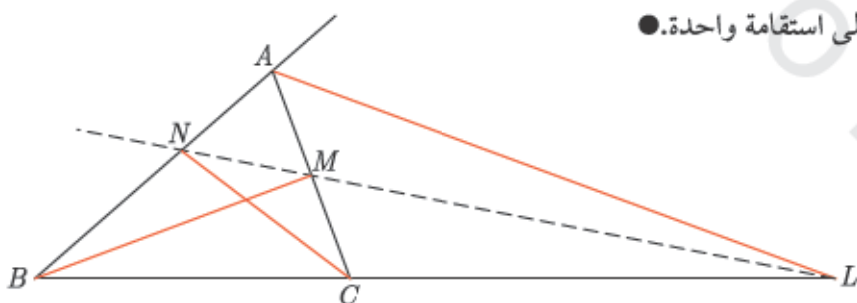
ستوفر لنا نظرية منيلوس طریقاً مفیداً لإثبات وقوع ثلث نقاط على استقامة واحدة .

تطبيقات على نظرية منيلوس

قبل بحث النظريات المشهورة التي نستخدم نظرية منيلوس في إثباتها ، سنقوم بدراسة بعض تطبيقات هذه النظرية ، حيث كل من هذه التطبيقات التي لا تحمل أسماءً ستقدم لنا بعض التنتائج القليلة الشيقية ، والتي يمكن بسهولة إثباتها بواسطة نظرية منيلوس .

تطبيق 1

أثبت أن المنصفين الداخلين لزوايتين في مثلث مختلف الأضلاع ، والمنصف الخارجي للزاوية الثالثة من نفس المثلث تلاقى الأضلاع المقابلة في ثلث نقاط تقع على استقامة واحدة . ●



شكل 5 - 3

البرهان

في المثلث ABC ، $\overline{BM}, \overline{CN}$ منصفان داخليان للزوايا $\angle ABC, \angle ACB$ ، \overline{AL} منصف خارجي للزاوية الثالثة عند النقطة A (انظر الشكل ٥ - ٣). ولأن منصف الزاوية (الداخلي أو الخارجي) يجزئ الضلع المقابل إلى جزأين يتناسبان مع ضلعي المثلث الآخرين. من ذلك نحصل على

$$\frac{AM}{MC} = \frac{AB}{BC}, \frac{BN}{NA} = \frac{BC}{AC}, \frac{CL}{BL} = \frac{AC}{AB}$$

بالضرب نحصل على :

$$\frac{AM}{MC} \cdot \frac{BN}{NA} \cdot \frac{CL}{BL} = \frac{AB}{BC} \cdot \frac{BC}{AC} \cdot \frac{AC}{AB} = 1$$

و بما أن $\frac{CL}{BL} = -\frac{CL}{LB}$ ، فإن :

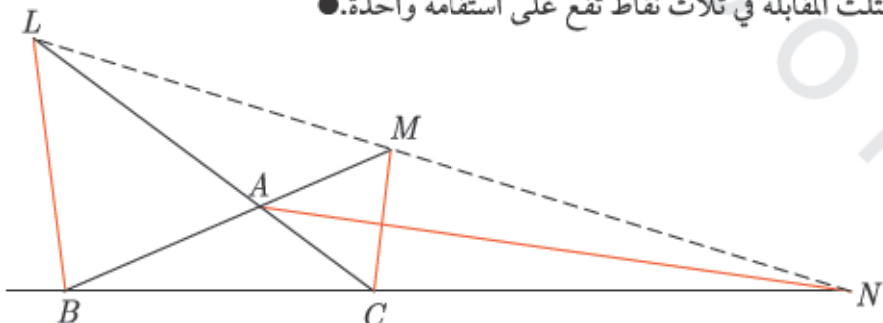
$$\frac{AM}{MC} \cdot \frac{BN}{NA} \cdot \frac{CL}{BL} = -1$$

إذن من نظرية منيلوس ، النقاط P, Q, R تقع على استقامة واحدة.

تطبيق 2

أثبتت أن المنصفات الخارجية لزوايا مثلث مختلف الأضلاع تلاقى أضلاع نفس

المثلث المقابلة في ثلاث نقاط تقع على استقامة واحدة. ●



شكل ٣ - ٦

البرهان

في المثلث ABC ، المنصفات الخارجية للزوايا عند الرؤوس A, B, C تلاقي A, B, C على الترتيب N, L, M على الترتيب (انظر الشكل ٦ - ٣). ولأن منصف الزاوية (الداخلي أو الخارجي) يجزئ الضلع المقابل إلى جزأين يتناسبان مع ضلعي المثلث الآخرين ؛ إذن :

$$\frac{CL}{AL} = \frac{BC}{AB}, \frac{AM}{BM} = \frac{AC}{BC}, \frac{BN}{CN} = \frac{AB}{AC}$$

أي أن :

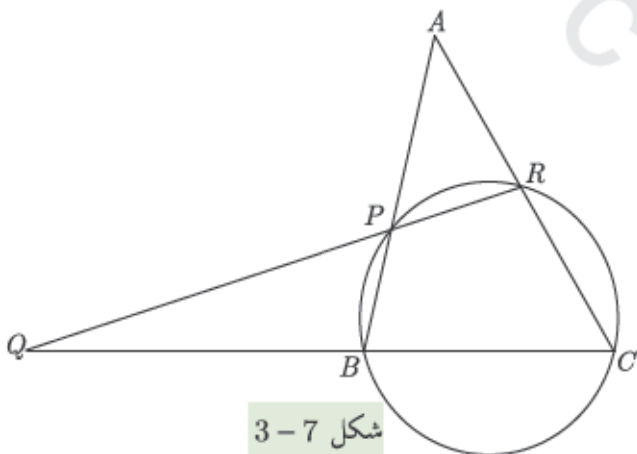
$$\frac{CL}{AL} \frac{AM}{BM} \frac{BN}{CN} = \frac{BC}{AB} \frac{AC}{BC} \frac{AB}{AC} = -1$$

وعلية ؛ فمن نظرية منيلوس ، النقاط P, Q, R تقع على استقامة واحدة.

تطبيق 3

إذا كان لدينا دائرة تمر بالرؤوس B, C في المثلث ABC ، وتقطع كلاً من P, R في $\overline{AB}, \overline{AC}$ على الترتيب ، و \overline{PR} يلاقي \overline{BC} في النقطة Q ، فأثبت أن

$$\bullet \cdot \frac{QC}{QB} = \frac{(RC)(AC)}{(PB)(AB)}$$



البرهان

في المثلث ABC ، حيث \overline{QPR} قاطع لأضلاعه (انظر الشكل ٣ - ٧) ، وباستخدام نظرية منيلوس $\frac{RC}{AR} \cdot \frac{AP}{PB} \cdot \frac{QB}{CQ} = -1$ ، ويأخذ القيمة المطلقة نحصل على

$$\frac{QC}{QB} = \frac{RC}{AR} \cdot \frac{AP}{PB} \quad (I)$$

ولكن $(AP)(AB) = (AR)(AC)$. (إذا تقاطع قاطعان لدائرة في نقطة خارجها ، فإن حاصل ضرب القاطع الأول في جزئه الخارج عن الدائرة يساوي القاطع الثاني في جزئه الخارج عن الدائرة). إذن ،

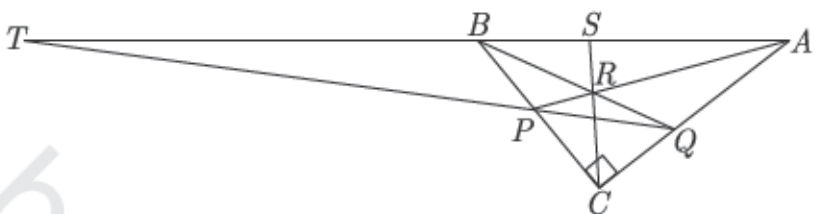
$$\frac{(AP)}{(AR)} = \frac{(AC)}{(AB)} \quad (II)$$

• $\frac{QC}{QB} = \frac{(RC)(AC)}{(PB)(AB)}$ بالتعويض من (I) في (II) نحصل على

غالباً ما نحتاج نظرية منيلوس ومقابلاها نظرية شيفا لحل المشكلات أو إثبات النظريات. التطبيق التالي يؤكد ذلك.

تطبيق 4

في المثلث القائم ABC ، النقطتان P, Q تقع على $\overline{BC}, \overline{AC}$ على الترتيب ، بحيث $CP = CQ = 2$ ، تتقاطع القطعتان $\overline{BQ}, \overline{AP}$ في النقطة R ، رسمنا \overline{CR} يمتد بالرأس C وبالنقطة R ويقطع \overline{AB} في S ، ورسمنا \overline{QP} يقطع \overline{AB} في T ، فإذا كان طول الوتر $AC = 8$ ، $AB = 10$. أوجد TS . (الشكل ٨ - ٣)



شكل ٣ - ٨

البرهان

في المثلث القائم ABC ، طول الوتر $AC = 8$ ، $AB = 10$ ، إذن بتطبيق نظرية فياغورس $BC = 6$ ، وكذلك في نفس المثلث ، بتطبيق نظرية شيفا حيث $\overline{AP}, \overline{BQ}, \overline{CS}$ تتقاطع في نقطة . إذن :

$$\frac{AQ}{QC} \cdot \frac{CP}{PB} \cdot \frac{BS}{SA} = 1$$

بالتعميض نحصل على :

$$\frac{6}{2} \cdot \frac{2}{4} \cdot \frac{BS}{10 - BS} = 1 \Rightarrow BS = 4$$

والآن ، بما أن \overline{QPT} قاطع للمثلث ABC ، وبتطبيق نظرية ميلوس :

$$\frac{AQ}{QC} \cdot \frac{CP}{PB} \cdot \frac{BT}{TA} = -1$$

ولأننا لا نتعامل مع قطع مستقيمة موجهة ، نستطيع صياغة العلاقة السابقة كالتالي :

$$(AQ) \cdot (CP) \cdot (BT) = (QC) \cdot (PB) \cdot (TA)$$

بالتعميض نجد أن :

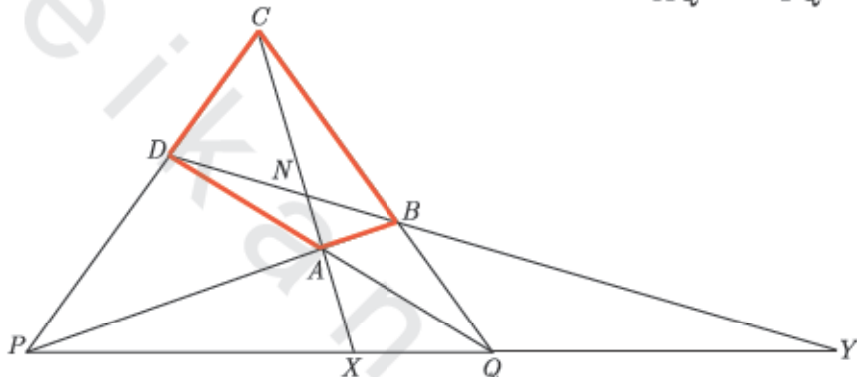
$$(6) \cdot (2) \cdot (BT) = (2) \cdot (4) \cdot (BT + 10)$$

● $BT = 20 \Rightarrow TS = 24$

تطبيق 5

في الشكل الرباعي $ABCD$ ، يتقاطع كل من $\overrightarrow{AB}, \overrightarrow{CD}$ في P بينما يتقاطع في Q ، القطران \overrightarrow{PQ} يقطعان $\overrightarrow{AC}, \overrightarrow{BD}$ في X, Y على الترتيب. أثبت أن

$$\bullet . (3-9) \quad \frac{PX}{XQ} = -\frac{PY}{YQ}$$



شكل 9

البرهان

بتطبيق نظرية شيفا في المثلث PQC حيث PQC تتقاطع في نقطة، إذن :

$$\frac{PX}{XQ} \cdot \frac{QB}{BC} \cdot \frac{CD}{DP} = 1 \quad (I)$$

والآن بما أن DBY قاطع للمثلث PQC وبتطبيق نظرية منيلوس :

$$\frac{PY}{YQ} \cdot \frac{QB}{BC} \cdot \frac{CD}{DP} = -1 \quad (II)$$

من (I), (II) نحصل على :

$$\bullet \cdot \frac{PX}{XQ} = -\frac{PY}{YQ}$$

واليآن دعونا ندرس بعض النظريات الشهيرة والتي نستطيع إثباتها باستخدام نظرية ميلوس.

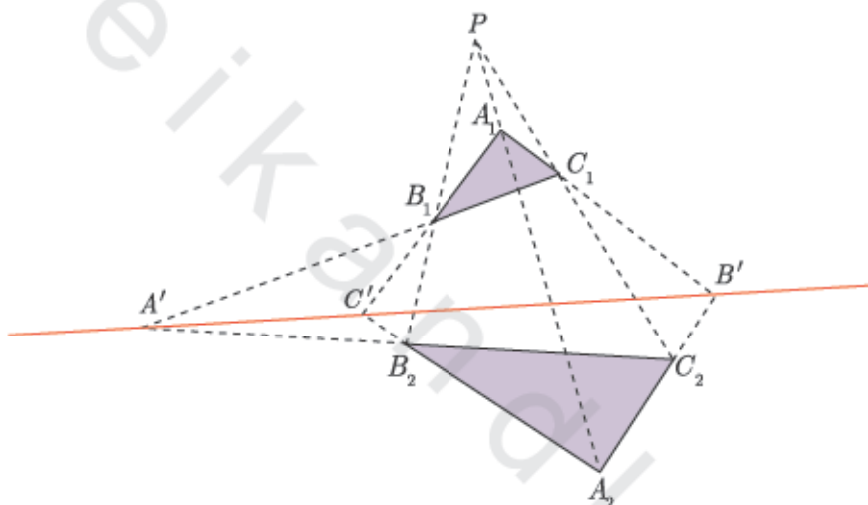
نظرية ديزارغ Desargues's Theorem

لم يحظ جيرارد ديزارغ (1591-1661) Gerard Desargues طوال حياته بالاهتمام مثلما حظي به آخر حياته. وكانت قلة شعبيته تلك ترجع في جزء منها لتطوير الهندسة التحليلية على يد رينيه ديكارت (1596 - 1650) Rene Descartes، وبالإضافة إلى ذلك، كان في أطروحت ديزارغ الكثير من المصطلحات الجديدة غير المألوفة إلى حد كبير. (وبالمناسبة نحن نبذل قصارى جهدنا لتلافي أي مصطلحات أو مسميات جديدة في هذا الكتاب. إننا نريد أن نتعلم مما حصل للعالم ديزارغ).

وفي العام 1648م، طبع تلميذه في درجة الماجستير أبراهام بوس Abraham Boss كتاباً بعنوان "طريقة ديزارغ العالمية للتدريب على التنظير" Maniere universelle de M.Desargues, pour pratiquer la perspective والذي لم ينتشر إلا بعد قرنين. وقد احتوى هذا الكتاب على نظرية أصبحت واحدة من المقتراحات الأساسية للهندسة الإسقاطية في القرن التاسع عشر. وهذه النظرية هي التي تهمنا هنا والتي تنطوي على وضع أي مثلثين في وضع يتتيح ثلاثة مستقيمات تمر بالرؤوس المتناظرة في المثلثين أن تتقاطع في نقطة واحدة بحيث يتحقق أن كل ضلعين متناظرين في المثلثين يتقاطعان في ثلاث نقاط على استقامة واحدة. وسوف ثبتت نظرية ديزارغ بواسطة نظرية ميلوس .

نظريه 2-3

إذا تم وضع $\Delta A_1B_1C_1, \Delta A_2B_2C_2$ بحيث كانت المستقيمات $\overleftrightarrow{A_1A_2}, \overleftrightarrow{B_1B_2}, \overleftrightarrow{C_1C_2}$ والتي تم برهاؤهما المتناظرة تتقاطع في نقطة واحدة، فإن أزواج الأضلاع المتناظرة فيما تتقاطع في ثلاث نقاط تقع على استقامة واحدة.



شكل 3 - 10

البرهان

في الشكل 10 - 3 تلتقي المستقيمات $\overleftrightarrow{C_1C_2}, \overleftrightarrow{B_1B_2}, \overleftrightarrow{A_1A_2}$ في نقطة واحدة ولتكن P ، وبفرض $\overleftrightarrow{C_1B_1}, \overleftrightarrow{C_2B_2}$ تلتقي في نقطة A' ، $\overleftrightarrow{C_1A_1}, \overleftrightarrow{C_2A_2}$ تلتقي في نقطة B' ، $\overleftrightarrow{B_1A_1}, \overleftrightarrow{B_2A_2}$ تلتقي في نقطة C' . وباستخدام نظرية ميلوس حيث قاطع لأضلاع المثلث PB_2C_2 نحصل على :

$$\frac{PB_1}{B_1B_2} \cdot \frac{B_2A'}{A'C_2} \cdot \frac{C_2C_1}{C_1P} = -1 \quad (\text{I})$$

بالمثل $\overline{C'B_1A_1}$ قاطع للأضلاع المثلث PB_2A_2 ، إذن

$$\frac{PA_1}{A_1A_2} \cdot \frac{A_2C'}{C'B_2} \cdot \frac{B_1B_2}{B_1P} = -1 \quad (\text{II})$$

وكذلك $\overline{B'A_1C_1}$ قاطع للمثلث PA_2C_2 ، إذن

$$\frac{PC_1}{C_1C_2} \cdot \frac{C_2B'}{B'A_2} \cdot \frac{A_1A_2}{A_1P} = -1 \quad (\text{III})$$

بضرب $(\text{I}), (\text{II}), (\text{III})$ نحصل على :

$$\frac{B_2A'}{A'C_2} \cdot \frac{A_2C'}{C'B_2} \cdot \frac{C_2B'}{B'A_2} = -1$$

وهذا يحقق نظرية ميلوس على المثلث $C_2B_2A_2$ ، يجعل النقاط C', B', A' على
استقامة واحدة. ●

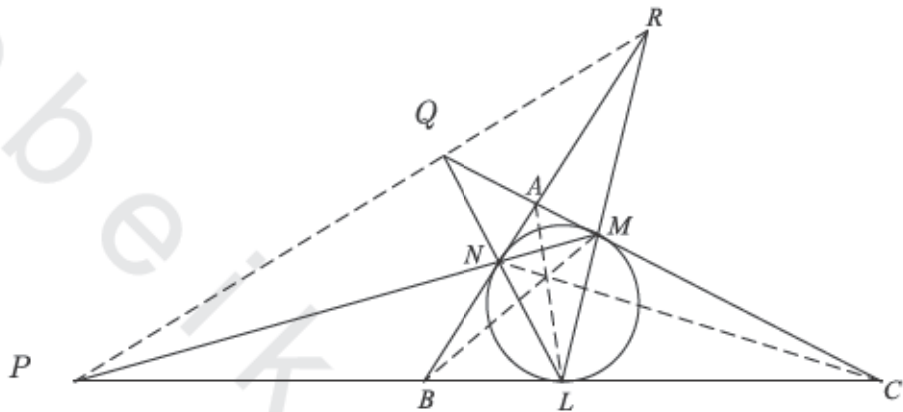
جدير باللحظة أن عكس نظرية ديزارغ هو أيضاً صحيح ، فهو المفهوم الشوّي
للنظرية الأصلية ، ولكننا سنترك إثبات ذلك تمريناً.

ولتقدير قيمة نظرية ديزارغ ، سنقدم أمثلة لبعض التطبيقات التي بالطبع يمكن
حلها بطرق أخرى ، ولكننا سنطبق نظرية ديزارغ في إثباتها .

تطبيقات

أنشئت دائرة تمس أضلاع المثلث ABC من الداخل في النقاط L, M, N على
الترتيب ، يتقاطع كل من $\overrightarrow{ML}, \overrightarrow{AB}$ في P ، $\overrightarrow{NL}, \overrightarrow{AC}$ في Q ، $\overrightarrow{MN}, \overrightarrow{BC}$ في R .

● أثبت أن النقاط P, Q, R تقع على استقامة واحدة. (انظر الشكل 11-3)



شكل 3 - 11

البرهان

لأن القطعتين المماستين للدائرة من نقطة خارجها متطابقتان، إذن

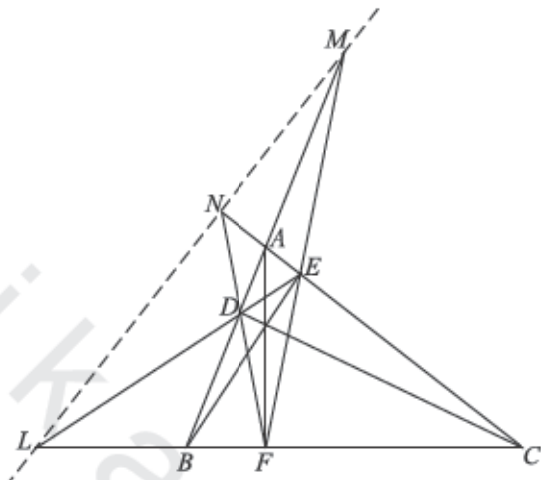
$$AN = AM, NB = BL, MC = LC$$

ومن ذلك:

$$\frac{AN}{NB} \cdot \frac{BL}{LC} \cdot \frac{MC}{AM} = 1$$

وبتطبيق نظرية شيفا نستنتج أن $\overrightarrow{AL}, \overrightarrow{BM}, \overrightarrow{CN}$ تتقاطع في نقطة واحدة، ولأن هذه المستقيمات تمر بالرؤوس الم対اظرة للمثلثين $\Delta ABC, \Delta LMN$ ، ويتطبق نظرية ديزارغ نستخرج أن الأزواج الم対اظرة من أضلاع المثلثين تتقاطع في ثلاث نقاط تقع على استقامة واحدة، أي أن P, Q, R تقع على استقامة واحدة. ●

تطبيق 7



شكل 3 - 12

لتكن النقاط F, E, D نقاط تقاطع ارتفاعات المثلث مع أضلاعه من الرؤوس A, B, C على الترتيب ، وأضلاع مثلث المساقط^{*} FED ، $\overline{EF}, \overline{DF}, \overline{DE}$ تقطع أضلاع المثلث ABC ، $\overline{AB}, \overline{AC}, \overline{BC}$ في M, N, L على الترتيب. أثبت أن النقاط N, L, M تقع على استقامة واحدة . (انظر الشكل 3 - 12) ●

البرهان

لتكن F, E, D هي الرؤوس المتناظرة لكل من $\Delta ABC, \Delta FED$ ، A, B, C ولأن $\overline{AF}, \overline{CD}, \overline{BE}$ تتقاطع في نقطة واحدة (ارتفاعات المثلث ΔABC)، إذن

* مثلث المساقط (مثلث معطى) هو المثلث الذي رؤوسه هي نقاط تقاطع الأعمدة الساقطة على أضلاع المثلث من أي نقطة اختيارية.

بتطبيق نظرية ديزارغ نستنتج أن نقاط تقاطع الأضلاع المتناظرة $\overline{FE}, \overline{BA}$ ، $\overline{DE}, \overline{BC}$ ، $\overline{FD}, \overline{CA}$ ، \bullet الثالث تقع على استقامة واحدة.

نظرية باسكال Pascal's Theorem

يعتبر بليز باسكال (Blaise Pascal) (١٦٢٣-١٦٦٢) الذي كان أحد معاصر ديزارغ واحداً من أكثر الرياضيين عبقرية في تاريخ الرياضيات. وعلى الرغم من أن غرابة أطواره قد قللت الكثير من ظهور إمكاناته الحقيقية، إلا أنه يعد واحداً من أرسوا مبادئ علم الاحتمالات (ثمرة مراسلاته مع فيرمات Fermat)، كما قدم مساهمات مهمة عديدة في فروع أخرى من الرياضيات، وسوف نهتم هنا بوحدة من إسهاماته في الهندسة.

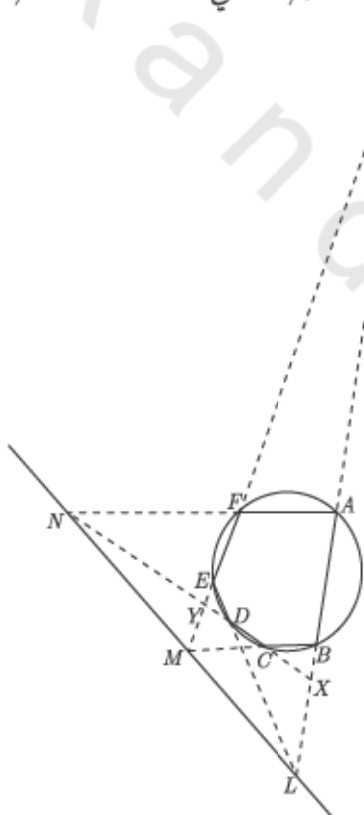
ففي عام ١٦٤٠م، عندما بلغ السادسة عشرة من عمره، قدم مقالاً عن القطوع المخروطية من ورقة واحدة بعنوان "مقال في هندسة المخروطيات Essay pour les coniques" واحتوى هذا المقال على النظرية التي أشار إليها باسكال بعنوان "السداسي العجيب mysterium hexagrammicum" والتي أثارت إعجاب ديكارت Descartes للغاية وكأنه لم يصدق أنها من صنع فتى في السادسة عشرة من عمره، وتتصدّر هذه النظرية على أن أضلاع الشكل السداسي المرسوم داخل قطع مخروطي تقاطع في نقاط تقع على استقامة واحدة، وسوف ندرس فقط الحالة التي يكون فيها القطع المخروطي دائرة ولا يوجد ضلعان متوازيان متقابلان في ذلك السداسي، وهذا مارأينا أنه يخدم غرضنا في هذا الفصل.

نظريّة باسكال 3-3

إذا رسم سداسي غير منتظم داخل دائرة بحيث كانت أضلاعه المقابلة غير متوازية، فإن نقاط تقاطع هذه الأضلاع المقابلة تقع على استقامة واحدة.

البرهان

السداسي $ABCDEF$ مرسوم داخل دائرة (انظر الشكل 3-13) ويلتقي ضلعاه $\overleftrightarrow{AB}, \overleftrightarrow{DE}$ في النقطة L ، $\overleftrightarrow{CD}, \overleftrightarrow{EF}$ في النقطة M ، $\overleftrightarrow{AF}, \overleftrightarrow{BC}$ في النقطة N . وكذلك $\overleftrightarrow{EF}, \overleftrightarrow{AB}$ في النقطة Y ، $\overleftrightarrow{CN}, \overleftrightarrow{AB}$ في النقطة X ، $\overleftrightarrow{AF}, \overleftrightarrow{CN}$ في النقطة Z .



شكل 3-13

باستخدام نظرية منيلوس حيث \overrightarrow{BC} قاطع لأضلاع المثلث ΔXYZ نحصل على :

$$\frac{ZB}{BX} \cdot \frac{XC}{CY} \cdot \frac{YM}{MZ} = -1 \quad (I)$$

وباعتبار \overrightarrow{AF} قاطعاً لأضلاع المثلث ΔXYZ ، وباستخدام نظرية منيلوس مرة ثانية نجد أن :

$$\frac{ZA}{AX} \cdot \frac{YF}{FZ} \cdot \frac{XN}{NY} = -1 \quad (II)$$

وأيضاً باعتبار \overrightarrow{DE} قاطعاً لأضلاع المثلث ΔXYZ ، وباستخدام نظرية منيلوس نجد أن :

$$\frac{XD}{DY} \cdot \frac{YE}{EZ} \cdot \frac{ZL}{LX} = -1 \quad (III)$$

بضرب $(I), (II), (III)$ نحصل على :

$$\frac{YM}{MZ} \cdot \frac{XN}{NY} \cdot \frac{ZL}{LX} \cdot \frac{(ZB)(ZA)}{(EZ)(FZ)} \cdot \frac{(XD)(XC)}{(AX)(BX)} \cdot \frac{(YE)(YF)}{(DY)(CY)} = -1 \quad (IV)$$

عند رسم قاطعين لدائرة من نقطة خارجة ، فإن حاصل ضرب طول القاطع الأول والجزء الخارجي منه يساوي حاصل ضرب طول القاطع الثاني والجزء الخارجي منه ، إذن

$$\frac{(ZB)(ZA)}{(EZ)(FZ)} = 1 \quad (V)$$

$$\frac{(XD)(XC)}{(AX)(BX)} = 1 \quad (VI)$$

$$\frac{(YE)(YF)}{(DY)(CY)} = 1 \quad (VII)$$

إذن باستخدام نظرية منيلوس ، P, Q, R تقع على استقامة واحدة. ●
ومن المثير للاهتمام ملاحظة أن نظرية باسكال من الممكن أن توسيع حسب

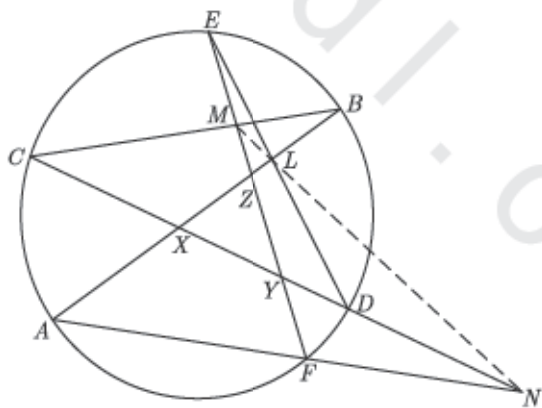
النسق التالي

نظرية ٤ - ٣

(تطویر نظرية
باascal)

إذا وقعت رؤوس سداسي غير منتظم على دائرة (بأي ترتيب) فإن
نقاط تقاطع الأضلاع المقابلة (إذا وجدت) تقع على استقامة
واحدة.

وكمثال على هذا التطوير ، ندعوك لبرهنة نظرية ٤ - ٣ على الشكل
١٤ - ٣ ، حيث هناك تعديل بسيط واحد فقط يجب أن يتم ليكون السبب في الوصول
من المعادلة (V) إلى المعادلة (VII). لاحظ أن نفس الأزواج من الأضلاع المقابلة
ستستخدم هنا كما استخدمناها سابقا.



شكل ٣ - ١٤

لنظرية باسكال العديد من التطبيقات وسندرس الآن بعض هذه التطبيقات .

تطبيق 8

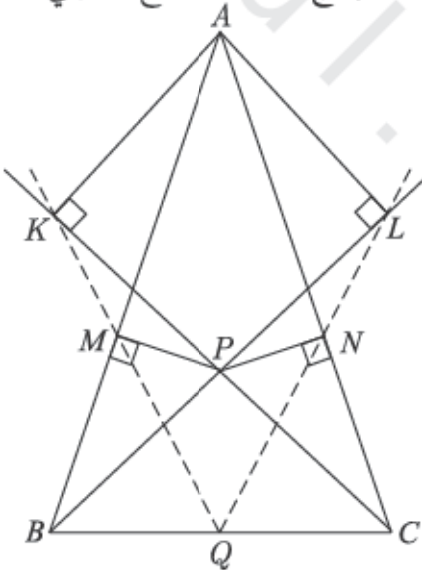
تقاطع على استقامة واحدة

٨٧

إذا كانت النقطة P تقع داخل المثلث ABC ، وكانت نقطتي تقاطع M, N نقطتي تقاطع العموديين من P على الضلعين $\overline{AB}, \overline{AC}$ على الترتيب ، $\overline{AK} \perp \overline{CP}$ في النقطة K ، $\overline{AL} \perp \overline{BP}$ في النقطة L ، (انظر الشكل 15 - 3). أثبت أن $\overrightarrow{KM}, \overrightarrow{LN}, \overrightarrow{BC}$ تقاطع في نقطة واحدة. ●

البرهان

يمكّنا بسهولة إثبات أن النقاط A, K, M, P, N, L تقع على دائرة واحدة نصف قطرها \overline{AP} ، ويكّنا توضيحاً ذلك بأن الزاويتين القائمتين $\angle AKP, \angle AMP$ مرسومتان على نفس نصف الدائرة ، وكذلك نفس الحالة بالنسبة للزاويتين القائمتين $\angle ALP, \angle ANP$ ، وباستخدام تطوير نظريّة باسكال (نظريّة 4 - 3) ، نلاحظ أن السداسي $AKMPNL$ أزواج أضلاعه تقاطع كما يلي



شكل 3 - 15

$$\overline{AM} \cap \overline{LP} = B$$

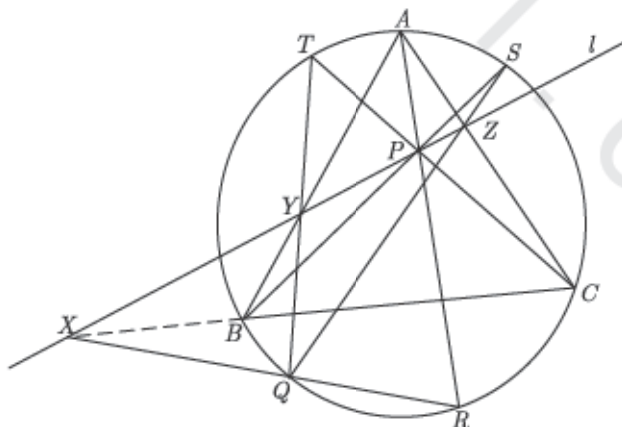
$$\overline{AN} \cap \overline{KP} = C$$

$$\overline{KM} \cap \overline{LN} = Q$$

باستخدام نظرية باسكال ، نصل إلى أن النقاط B,C,Q تقع على استقامة واحدة ، وهذا ما يجعلنا نستطيع القول بأن $\overline{KM},\overline{LN},\overline{BC}$ تتقاطع في نقطة واحدة . ●

تطبيق 9

سنختار أي نقطة P تقع داخل $\triangle ABC$ ، ونسمي إلى خط المستقيم l الذي يقطع أضلاع المثلث $\overline{AC},\overline{AB},\overline{BC}$ في النقاط Z,Y,X على الترتيب . وإذا كانت قطع الدائرة المحيطة بالمثلث ΔABC في النقاط R,S,T على الترتيب $\overrightarrow{AP},\overrightarrow{BP},\overrightarrow{CP}$ (انظر الشكل 16 - 3) . أثبت أن $\overline{RX},\overline{SY},\overline{TZ}$ تتقاطع في نقطة واحدة . ●



شكل 16 - 3

البرهان

ليكن \overline{RX} يقطع الدائرة المحيطة في النقطة Q ، ولنطبق نظرية باسكال على السادس $ACRQBT$ حيث $\overline{AR} \cap \overline{AB}$ هو النقطة P ، $\overline{RQ} \cap \overline{CB}$ هو النقطة X ، $\overline{TQ} \cap \overline{AB}$ هو نقطة تقع على المستقيم l والتي يجب أن تكون النقطة Y (لأن $l \cap \overline{AB}$ هو النقطة Y).
والأآن لندرس السادس $ASCRQB$ الذي فيه $\overline{AR} \cap \overline{AB}$ هو النقطة P ، $\overline{RQ} \cap \overline{CB}$ هو النقطة X ، $\overline{SQ} \cap \overline{AC}$ هو نقطة تقع على الخط المستقيم l والتي يجب أن تكون النقطة Z . إذن $\overline{RX}, \overline{SZ}, \overline{TY}$ تتقاطع في نقطة واحدة. ●

نظرية براينشون Brianchon's Theorem

في عام ١٨٠٦ م عندما كان طالباً بمدرسة البوليتكنيك في سن الواحدة والعشرين، قدم تشارلز جولييان براينشون (١٧٨٥ - ١٨٦٤) Charles Julian Brianchon مقالاً في مجلة المدرسة Journal de L'Ecole Polytechnique من الإسهامات الأساسية في دراسة القطوع المخروطية في الهندسة الإسقاطية. وقد أدت هذه الإسهامات لإعادة صياغة ما تم نسيانه بعض الشيء من نظرية باسكال وامتدادها. وبعد ذلك نشر براينشون نظريته الجديدة التي تحمل اسم نظرية براينشون s, Brianchon Theorem والتي تنص على أن " الأقطار الثلاثة لأي سداسي يحيط بقطع مخروطي، تتقاطع في نقطة واحدة " * .

الغريب أن ذلك يحمل تشابهاً مع نظرية باسكال ، ولكن في الحقيقة كل منها ثانية للأخرى ويتبين ذلك بسهولة عند مقارنة نصيهما كما يلي

نظريّة براينشون

المستقيمات المارة بالرؤوس المقابلة
لسداسي يحيط بقطع مخروطي تتقاطع
في نقطة واحدة.

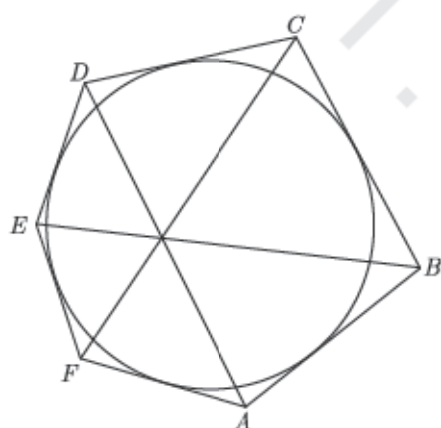
نظريّة باسكال

نقاط تقاطع الأضلاع المقابلة في السداسي
المرسوم داخل قطع مخروطي تقع على
استقامة واحدة.

نلاحظ أن التصينين السابقين هما على حد سواء ما عدا الكلمات التي تحتها خط ،
والتي كل منها تعد ثانية للأخرى ، وكما فعلنا في نظرية باسكال سنعمل فقط على
حالة أن القطع المخروطي دائرة .

نظريّة 5-3

(نظرية براينشون) إذا أنشأ سداسي يحيط بدائرة فإن المستقيمات
المارة برؤوس السداسي المقابلة تتقاطع في نقطة واحدة (انظر
الشكل 3 - 17).



شكل 3 - 17

أبسط البراهين لهذه النظرية تتطلب معرفة بعض مفاهيم الهندسة الإسقاطية. وعلى الرغم من أننا عند هذه المرحلة نستطيع تقديم برهان لهذه النظرية باستخدام طرق الهندسة الإقليدية، إلا أن برهاننا سيكون أكثر إيجازاً إذا انتظرنا قليلاً حتى ندرس المحاور الأساسية في هذا الفصل.

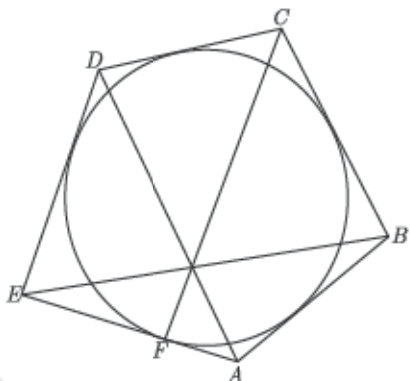
اقتصر براينشون التطبيقات التالية بعد نشر نظريته الجديدة مباشرة.

تطبيق 10

إذا رسم الخماسي $ABCDE$ محيطاً بدائرة ويسأها في النقاط F, M, N, R, S وتقاطع قطراء $\overline{AD}, \overline{BE}$ في النقطة P . فأثبتت أن النقاط C, P, F تقع على استقامة واحدة (انظر الشكل 18 - 3). ●

البرهان

لعتبر أن الشكل السداسي الذي يحيط بدائرة في الشكل 17 - 3 فيه الضلعان $\overline{AF}, \overline{EF}$ اندمجاً معاً في قطعة مستقيمة واحدة. إذن، \overline{AFE} هو الآن ضلع من أضلاع الخماسي الذي يحيط بالدائرة، والنقطة F هي نقطة تقاس (انظر الشكل 18 - 3). وهكذا نستطيع أن نرى الخماسي في الشكل 18 - 3 والذي تولد من السداسي. والآن، ببساطة يمكننا تطبيق نظرية براينشون على الشكل الجديد للحصول على المطلوب النهائي الذي هو أن $\overline{AD}, \overline{BE}, \overline{CF}$ تتقاطع في نقطة واحدة هي P ، أو نقول إن النقاط C, P, F تقع على استقامة واحدة.

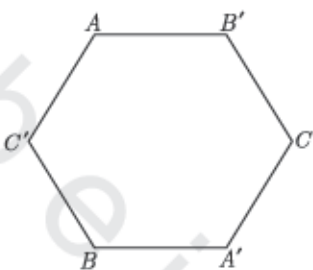


شكل 3 - 18

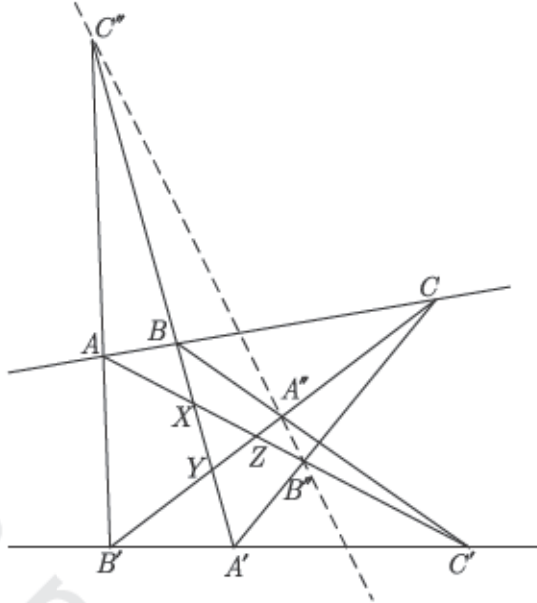
نظريّة بابوس Pappus's Theorem

إذا نظرنا لرؤوس السادسسي ' $AB'CA'BC$ (الشكل 3-19) ووضعناها بالتبادل على خطين مستقيمين (انظر الشكل 3-20). ثم رسمنا الخطوط المستقيمة التي كانت تصل بين رؤوس الشكل الأول على الشكل الثاني ، والتي ستتقاطع في ثلاث نقاط (تتجزء من تقاطع كل ضلعين متقابلين في الشكل الأول) سنجد أن هذه النقاط تقع على استقامة واحدة. هذا الاستنتاج قدمه بابوس الإسكندرى Pappus of Alexandria في مجموعته الرياضية Mathematical Collection في حوالي عام ٣٠٠ بعد الميلاد.

لكي نقدم الدليل على صحة هذه النظرية ، دعونا نكررها وسرعان ما نلاحظ أننا سنستخدم في إثباتها نظرية منيلوس عدة مرات.



شكل ٣ - ١٩



شكل ٣ - ٢٠

(نظرية بابوس) النقاط A, B, C تقع على خط مستقيم واحد، والنقاط A', B', C' تقع على مستقيم آخر وبأي ترتيب. فإذا تقاطع $\overrightarrow{AC'}, \overrightarrow{A'C}$ في C'' ، $\overrightarrow{AB'}, \overrightarrow{A'B}$ في B'' ، وتقاطع $\overrightarrow{BC'}, \overrightarrow{B'C}$ في A'' . فإن النقاط A'', B'', C'' تقع على استقامة واحدة.

نظريه ٦-٣

البرهان

على الشكل ٣ - ٢٠ ، يلتقي $\overrightarrow{B'C}, \overrightarrow{A'B}$ في النقطة Y ، ويلتقي $\overrightarrow{AC'}, \overrightarrow{A'B}$ في النقطة X ، ويلتقي $\overrightarrow{B'C}, \overrightarrow{AC'}$ في النقطة Z ، ويتطبق نظرية منيلوس حيث قاطع ΔXYZ $\Delta C''AB'$ نحصل على :

$$\frac{ZB'}{YB'} \cdot \frac{XA}{ZA} \cdot \frac{YC''}{XC''} = -1 \quad (I)$$

وباعتبار ΔXYZ قاطعاً لأضلاع $\overline{A'B''C}$ ، وباستخدام نظرية منيلوس نحصل على

$$\frac{YA'}{XA'} \cdot \frac{XB''}{ZB''} \cdot \frac{ZC}{YC} = -1 \quad (II)$$

وأيضاً باعتبار ΔXYZ قاطعاً لأضلاع المثلث $\overline{BA''C'}$ ، وباستخدام نظرية منيلوس

نحصل على :

$$\frac{YB}{XB} \cdot \frac{ZA''}{YA''} \cdot \frac{XC'}{ZC'} = -1 \quad (III)$$

بضرب (I), (II), (III) نحصل على :

$$\frac{YC''}{XC''} \cdot \frac{XB''}{ZB''} \cdot \frac{ZA''}{YA''} \cdot \frac{ZB'}{YB'} \cdot \frac{YA'}{XA'} \cdot \frac{XC'}{ZC'} \cdot \frac{XA}{ZA} \cdot \frac{ZC}{YC} \cdot \frac{YB}{XB} = -1 \quad (IV)$$

ولأن النقاط A, B, C تقع على استقامة واحدة ، وكذلك النقاط A', B', C' أيضاً

تقع على استقامة واحدة ، فإننا نستطيع أن نستنتج بواسطة نظرية منيلوس العلاقات التاليتين (عندما نعتبر أن كلا المستقيمين قاطعان للمثلث (ABC) .

$$\frac{ZB'}{YB'} \cdot \frac{YA'}{XA'} \cdot \frac{XC'}{ZC'} = -1 \quad (V)$$

$$\frac{XA}{ZA} \cdot \frac{ZC}{YC} \cdot \frac{YB}{XB} = -1 \quad (VI)$$

بالتعميّض من (IV) في (V), (VI) نحصل على :

$$\frac{YC''}{XC''} \cdot \frac{XB''}{ZB''} \cdot \frac{ZA''}{YA''} = -1$$

● ومن نظرية منيلوس نجد أن A'', B'', C'' تقع على استقامة واحدة.

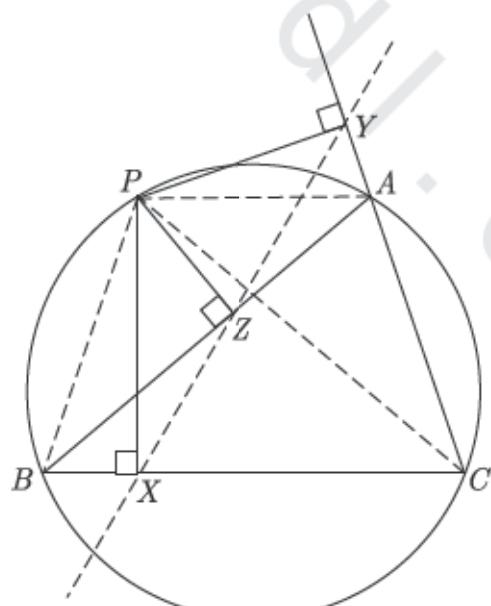
خط سيمسون The Simson Line

في واحدة من أكثر حالات الظلم في تاريخ الرياضيات، نشر وليام والاس Thomas (١٧٦٨-١٨٤٣) نظرية أصلية وجديدة في دار نشر Leybourne's Mathematical Repository، لكن بسبب الإهمال، نسبت إلى الرياضي الإنجليزي المشهور روبرت سيمسون Robert (١٦٨٧-١٧٦٨) الذي قام بترجمة كتاب العناصر لإقليدس Euclid's Elements من اللاتينية إلى الإنجليزية (انظر الصفحتان ٩٦-٩٧ لمعرفة المزيد عن سيمسون).

وسوف نستقي معلوماتنا في هذا الكتاب من المرجع المشهور Simsons 's theorem.

نظريّة 7-3

(نظريّة سيمسون) الأعمدة المرسومة من أي نقطة على دائرة محيطة ب مثلث، على أضلاع هذا المثلث، تتقاطع في نقاط تقع على استقامة واحدة.



شكل 3 - 21

في الشكل 21-3 ، النقطة P تقع على الدائرة المحيطة بـ $\triangle ABC$ ، $\overrightarrow{PY} \perp \overrightarrow{AB}$ في النقطة Y ، $\overrightarrow{PZ} \perp \overrightarrow{BC}$ في النقطة Z ، $\overrightarrow{PX} \perp \overrightarrow{AC}$ في النقطة X ، ووفقاً لنظرية سيمسون (أي نظرية والاس) ، النقاط X, Y, Z تقع على مستقيم واحد عادة ما يطلق عليه خط سيمسون Simson Line . (أحياناً يطلق عليه اسم مستقيم المساقط Pedal line .)

ليس من الضروري أن يكون برهاننا الأول لنظرية سيمسون هو الأبسط ولكننا من أجل الاتساق سوف نستخدم نظرية ميلوس لإثبات هذه النظرية ، ثم نقدم طريقة ثانية كشرح مستقل لبرهان النظرية .

I البرهان

(انظر الشكل 21-3). لرسم $\overline{PA}, \overline{PC}, \overline{PB}$ لدينا

$$\begin{aligned} m\angle PBA &= \frac{1}{2} m \widehat{AP} \\ m\angle PCA &= \frac{1}{2} m \widehat{AP} \end{aligned}$$

لذلك $\angle PBA = \angle PCA = a$

وعليه فإن

$$\frac{BZ}{PZ} = \cot a = \frac{CY}{PY}$$

$$\frac{BZ}{CY} = \frac{PZ}{PY} \quad (I)$$

بالمثل : $\frac{1}{2} m \widehat{PB} = m\angle PBA = m\angle PCB = b$ ؛ لذلك

$$\frac{AZ}{PZ} = \cot b = \frac{CX}{PX}$$

$$\frac{CX}{AZ} = \frac{PX}{PZ} \quad (\text{II})$$

ولأن $\angle PBC, \angle PAC$ زاويتان متقابلتان في شكل رباعي دائري، إذن هما زاويتان متكمالتان.

ولكن $\angle PBC = \angle PAY = c$ ، إذن $\angle PAY, \angle PAC$ هما أيضاً متكمالتان، وبالتالي

$$\text{في المثلثين } PBX, PAY, \frac{BX}{PX} = \cot c = \frac{AY}{PY}$$

$$\frac{AY}{BX} = \frac{PY}{PX} \quad (\text{III})$$

بضرب (I), (II), (III) نحصل على:

$$\left(\frac{BZ}{CY} \cdot \frac{CX}{AZ} \cdot \frac{AY}{BX} \right) = \left(\frac{PZ}{PY} \cdot \frac{PX}{PZ} \cdot \frac{PY}{PX} \right) = 1 \quad (\text{أو } -1 \text{ حسب دراسة الاتجاه})$$

إذن باستخدام نظرية ميلوس X, Y, Z تقع على استقامة واحدة، وتعيين هذه النقاط الثلاث خط سيمسون للمثلث ABC بالنسبة للنقطة P .

البرهان II

(انظر الشكل 21-3). لأن $\angle PYA, \angle PZA$ متقابلتان متكمالتان، إذن الشكل الرباعي $PZA Y$ دائري. نرسم $\overline{PA}, \overline{PC}, \overline{PB}$. إذن:

$$\angle PYZ = \angle PAZ \quad (\text{I})$$

بالمثل $\angle PYC, \angle PXC$ متقابلتان متكمالتان، إذن الشكل الرباعي $PXYC$ دائري. عليه نجد:

$$\angle PYX = \angle PCB \quad (\text{II})$$

ولكن الرباعي $PACB$ أيضاً دائري؛ لأنه أربع نقاط على دائرة، إذن:

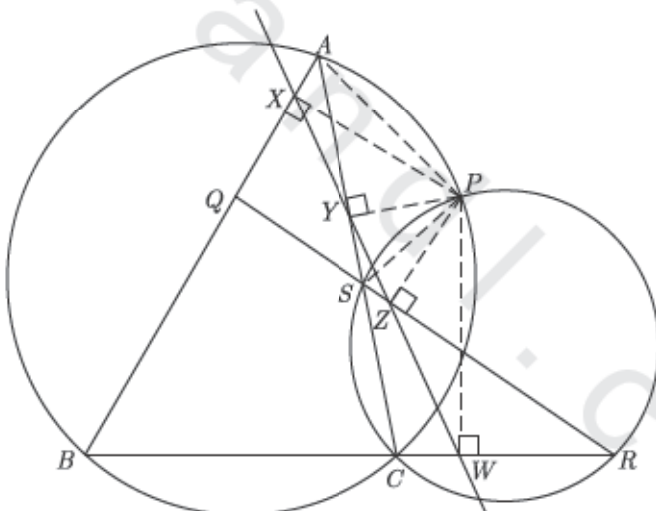
$$m\angle PAZ = m\angle PAB = m\angle PCB \quad (III)$$

من (III) نحصل على $m\angle PYZ = m\angle PYX$ ، وهذا يعني أن النقاط X, Y, Z تقع على استقامة واحدة.

تطبيق 11

لتكن ABC مثلثاً، ولنفرض أن \overrightarrow{QSR} يقطع $\overrightarrow{AB}, \overrightarrow{BC}, \overrightarrow{CA}$ في النقاط Q, R, S على الترتيب. الدائرة المحيطةان بكل من $\Delta ABC, \Delta SCR$ تتقاطعان في النقطة P . أثبت أن الشكل الرباعي $APSQ$ دائري (انظر الشكل 22 - 3).

البرهان



شكل 22 - 3

لرسم الأعمدة $\overline{AB}, \overline{AC}, \overline{QR}, \overline{BC}$ على $\overline{PX}, \overline{PY}, \overline{PZ}, \overline{PW}$ على الترتيب كما في الشكل 22 - 3. لأن النقطة P تقع على الدائرة المحيطة بالمثلث ABC ، إذن النقاط X, Y, W تقع على استقامة واحدة (خط سيمسون). بالمثل ؛ لأن النقطة P تقع على الدائرة المحيطة بالمثلث SCR ، إذن النقاط Y, Z, W تقع على استقامة واحدة.

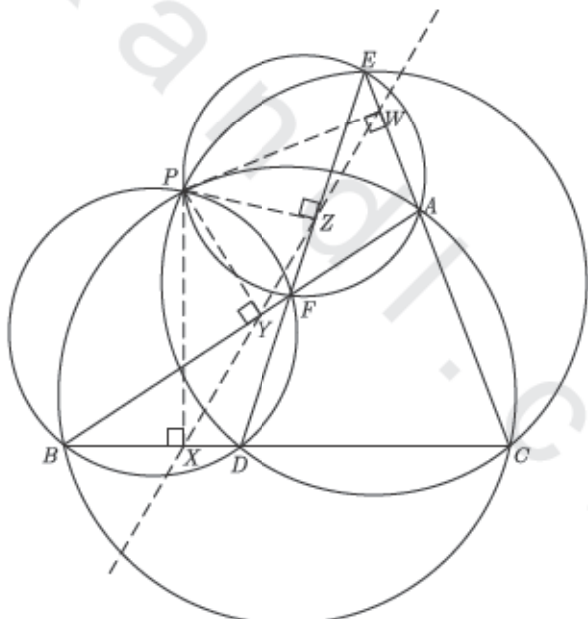
تقع على استقامة واحدة. إذن النقطة P يجب أن تقع على الدائرة المحيطة بالثلث AQS (عكس نظرية سيمسون والذي نترك إثباته كتدريب). إذن الشكل الرباعي $APSQ$ دائري (انظر الشكل 22 - 3). ●

تطبيق 12

القطع المستقيمة ABC, FBD, EFA, EDC تشكل المثلثات $\overline{AB}, \overline{BC}, \overline{EC}, \overline{ED}$

حسب الشكل 23 - 3. أثبت أن الدوائر المحيطة بهذه المثلثات تتشترك في نقطة واحدة. ●

البرهان



شكل 3 - 23

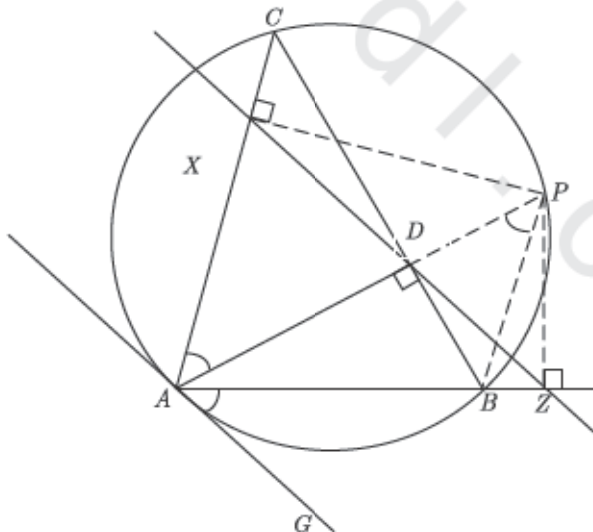
لنفرض أن P هي إحدى نقطتي تقاطع الدوائرتين المحيطتين بالمثلثين ABC, FBD اللتين تتقاطعن أيضاً في B . من النقطة P نرسم الأعمدة $\overline{PX}, \overline{PY}, \overline{PZ}, \overline{PW}$ على

على الترتيب كما في الشكل 3-23. لأن النقطة P تقع على الدائرة المحيطة بالثلث ABC ، إذن النقاط X,Y,W تقع على استقامة واحدة؛ إذن النقاط X,Y,Z,W تقع على استقامة واحدة لأن النقاط Y,Z,W تقع على استقامة واحدة. إذن النقطة P يجب أن تقع على الدائرة المحيطة بالثلث EFA (عكس نظرية سيمسون والذي ترك إثباته كتدريب). ولنفس السبب ، لأن النقاط X,Z,W تقع على استقامة واحدة، إذن النقطة P يجب أن تقع على الدائرة المحيطة بالثلث EDC . إذن الدوائر الأربع تمر بالنقطة P .

لخط سيمسون العديد من الخصائص ، نقدم الآن القليل منها.

نظرية 8-3

(الخاصية الأولى لخط سيمسون) إذا كان العمود \overline{AD} في $\triangle ABC$ يلاقي الدائرة المحيطة به في النقطة P ، فإن خط سيمسون لنقطة P بالنسبة للمثلث ABC يوازي المستقيم الماس للدائرة عن النقطة A .



شكل 3 - 24

البرهان

لأن \overline{PZ} , \overline{PX} عمودان على $\overline{AC}, \overline{AB}$ على الترتيب في المثلث ABC ، فالنقط X, D, Z تعين خط سيمسون للنقطة P بالنسبة للمثلث ABC . نرسم \overline{PB} (انظر الشكل 24 - 3). في الشكل الرباعي $PDBZ$, $m\angle PDB = m\angle PZB = 90^\circ$ وهذا يعني أن الشكل $PDBZ$ رباعي دائري (زاوיתان متقابلتان متكمالتان) ، ومن ذلك نستنتج أن :

$$m\angle DZB = m\angle DPB \quad (I)$$

وفي الدائرة المحيطة بالمثلث ABC :

$$\boxed{m\angle GAB = \frac{1}{2}(m\widehat{AB})}, \boxed{m\angle DPB(m\angle APB) = \frac{1}{2}(m\widehat{AB})}$$

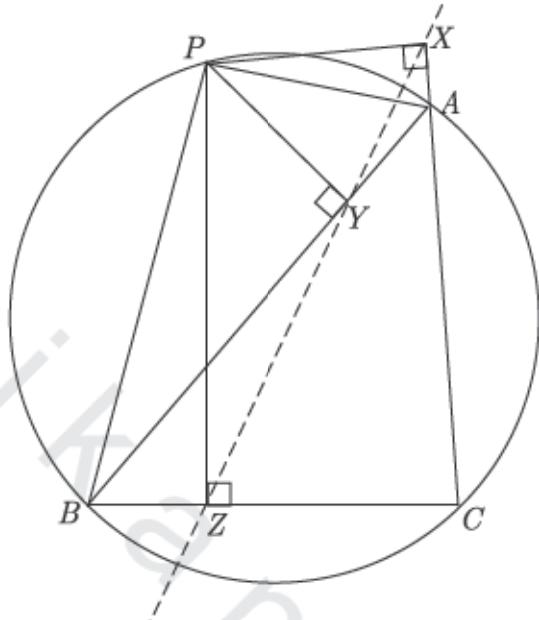
إذن :

$$m\angle GAB = m\angle DBP \quad (II)$$

من (I), (II) لدينا $m\angle DZB = m\angle GAB$ ، وهذا يعني أن خط سيمسون ● . \overline{GA} يوازي \overline{XDZ}

نظيرية 9-3

(الخاصية الثانية لخط سيمسون) من النقطة P التي تقع على الدائرة المحيطة بالمثلث ABC ، ارسم الأعمدة $\overline{PX}, \overline{PY}, \overline{PZ}$ على الأضلاع $\overline{AC}, \overline{AB}, \overline{BC}$ على الترتيب. إن $(PA)(PZ) = (PB)(PX) = (PC)(PY)$. (انظر الشكل 25 - 3)



شكل 3 - 25

البرهان

لأن $m\angle PYB = m\angle PZB = 90^\circ$ رباعي دائري؛

ومن ذلك

$$m\angle PBY = m\angle PZY \quad (I)$$

وبطريقة مماثلة :

$$m\angle PXY = m\angle PAY \quad (II)$$

لأن $m\angle PXA = m\angle PYA = 90^\circ$ رباعي دائري، ومن

ذلك ولكن النقاط X, Y, Z على استقامة واحدة (خط سيمسون) إذن من

(I), (II)

* الشكل الرباعي يكون دائرياً (أي رؤوسه الأربع على دائرة) إذا كان فيه زاويتان متطابقتان مرسومتان على أحد أضلاعه ورأساهما في جهة واحدة منه.

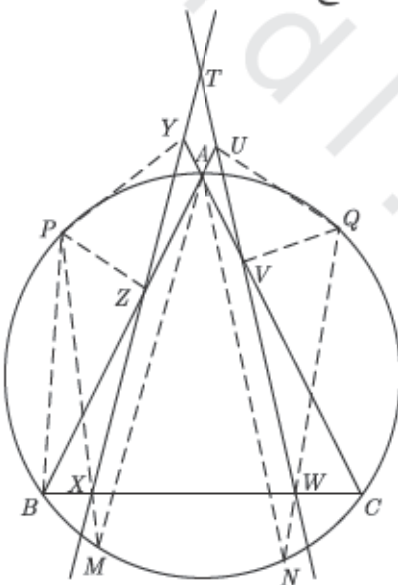
$$\Delta PAB \sim \Delta PXZ \Rightarrow \frac{PA}{PX} = \frac{PB}{PZ} \Rightarrow (PA)(PZ) = (PB)(PX) \bullet$$

نظرية 3-10

(الخاصية الثالثة لخط سيمسون) قياس الزاوية المحسورة بين خطين سيمسون لنقطتين تقعان على دائرة محطة بمثلث تساوي نصف قياس القوس المحسور بين هاتين النقطتين .

البرهان

في الشكل (3 - 26) ، هو خط سيمسون للنقطة P ، \overrightarrow{XYZ} هو خط سيمسون للنقطة Q ، تمnd $\overline{PX}, \overline{QW}$ ليقطعوا الدائرة في M, N على الترتيب ، ثم رسم $\overline{PZX}, \overline{AM}, \overline{AN}$ ، لأن $m\angle PZB = m\angle PXB = 90^\circ$ ، فإن الشكل رباعي دائري ، ومن هذا نستنتج أن



شكل 3 - 26

$$m\angle ZXp = m\angle ZBP \quad (I)$$

$$m\angle ABP = m\angle AMP \quad or \quad m\angle ZBP = m\angle AMP \quad (II)$$

إذن، من $m\angle ZXp = m\angle AMP$ (I), (II)؛ وعليه فإن:

$$\overleftrightarrow{XYZ} \parallel \overline{AM}$$

. $\overleftrightarrow{UVW} \parallel \overline{AN}$ وبينفس الطريقة نستطيع إثبات أن

وبالتالي؛ إذا كانت النقطة T هي نقطة تقاطع خطي سيمسون، فإن $m\angle XTW = m\angle MAN$ ، وذلك لأن ضلعيهما المتناظرين متوازيان. والآن $m\widehat{MN}, m\widehat{PQ} = m\widehat{PM} \parallel m\widehat{QN}$ ، ولكن لأن $m\angle MAN = \frac{1}{2}(m\widehat{MN})$

• $m\angle XTW = \frac{1}{2}(m\widehat{PQ})$ ، إذن، $m\angle MAN = \frac{1}{2}(m\widehat{MN})$ وبالتالي

يوجد هنا تطبيق شيق لنظرية سيمسون، حيث قابلتنا مشكلة سابقة عندما أثبتنا في الفصل الأول المغالطة التي تزعم أن كل المثلثات المختلفة الأضلاع هي مثلثات متطابقة الضلعين. وقد رسمنا أعمدة من النقطة G إلى $\overline{AC}, \overline{BC}, \overline{AB}$ للتلاقي المستقيمات في النقاط D, F, E على الترتيب. ولأن النقطة G على الدائرة المحيطة بالمثلث ABC ، فإن نظرية سيمسون تثبت لنا أن النقاط D, F, E تقع على استقامة واحدة.

المسلمة المشهورة لموريتز باش Moritz Pasch (١٨٤٣ - ١٩٣٠) التي تنص على أن الخط المستقيم الذي يقطع ضلعاً واحداً من أضلاع مثلث (من الداخل) لابد أن يقطع أيضاً واحداً فقط من ضلعي المثلث الآخرين (من الداخل)، إلا إذا مر هذا المستقيم بأحد رؤوس المثلث.

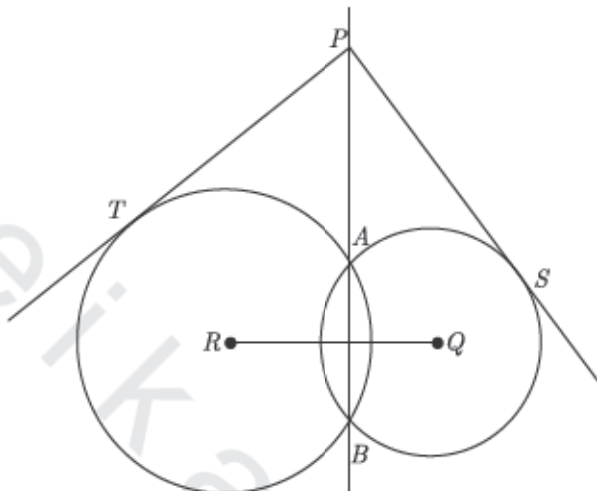
وكان إقليدس قد افترض هذه الفكرة تقريراً في مسلماته، ومع ذلك؛ فإن توظيف هذه المسلمة يجعلنا نجزم بأنه حينما نسقط عمودين من نقطة تلاقي منصف

زاوية في المثلث مع العمود المنصف للضلع المقابل لتلك الزاوية على ضلعي الزاوية، فإن واحداً منها بالضبط يقطع أحد الضلعين من الداخل والآخر يقطع امتداد الضلع الآخر، وهذا ما يمكننا من تجنب المغالطة التي عرضناها سابقاً.

المحاور الأساسية Radical Axes

عرضنا سابقاً في هذا الفصل نظرية براينشون Brianchon,s Theorem كنظيرية مقابلة لنظرية باسكال Pascal,s Theorem ، وكنا قد قمنا بتوجيل برهان هذه النظرية لأننا كنا نحتاج مزيداً من المعرفة حول المحاور الأساسية Radical Axes . وسوف نعرض الآن بعض خواص المحور الأساسي المهمة والتي سنتخدمها في إثبات نظرية براينشون .

لندرس معا الدائريتين R, Q (انظر الشكل 27 - 3) واللتين تتقاطعان في A, B ، فإذا كانت النقطة P هي أي نقطة تقع على \overline{AB} بحيث لا تقع بين A, B ، ورسمنا الماسين $\overline{PT}, \overline{PS}$ للدائرةين R, Q على الترتيب ، فمن خلال دراستنا لمبادئ الهندسة نعلم أن PT وسط متناسب بين PB, PA ، أي $(PT)^2 = (PB)(PA)$ ، وبالمثل بالنسبة للدائرة Q ، لدينا $(PS)^2 = (PB)(PA)$. إذن ، $PT = PS$. ولأننا اخترنا النقطة P في أي موقع على \overline{AB} (بحيث لا تقع بين A, B) ، فإننا نستطيع أن نقول إن القطعتين الماستين للدائريتين R, Q متطابقتان . ولكن قبل أن نقرر أن هذا الاستنتاج موضع نظرية ، علينا أن ثبت أن النقطة P والتي يخرج منها ماسان لدائريتين يجب أن تقع على \overline{AB} . والإثبات كالتالي :



شكل ٣ - ٢٧

لنفرض أن النقطة P أي نقطة حيث الماسان PT, PS متطابقان، ولتكن يقطع الدائرة R في B ويقطع الدائرة Q في B' ، وكما سبق نستطيع كتابة العلاقات

$$(PT)^2 = (PB)(PA)$$

$$(PS)^2 = (PB')(PA)$$

ولأن: $PT = PS$ ، إذن $PB = PB'$ ، وهذا معناه انتظام النقطتين B, B' ، وأن النقطة P تقع على القاطع المشترك للدائرتين \overline{AB} . نطلق على الخط المستقيم الذي يحتوي النهايات المشتركة لكل الماسات المتطابقة لدائرتين ، المحرور الأساسي Radical Axis لتلك الدائرتين ، ويعكّرنا أن نصوغ الآن هذه النتيجة.

نظريّة 3-11

المحور الأساسي لدائرتين متقاطعتين هو قاطع مشترك لهما.

ويترتب على ذلك مباشرةً أن المحور الأساسي لدائرتين متماستين هو الماس المشترك لهما، وقبل أن نتدارس وضع المحور الأساسي لدائرتين غير متقاطعتين (متباعدتين) نحتاج للدراسة النظرية التالية .

نظريّة 3-12

المحل الهندسي لنقطة الفرق بين مربعي البعد بينها وبين نقطتين ثابتتين يكون ثابتاً

هو مستقيم عمودي على القطعة المستقيمة الواقلة بين النقطتين الثابتتين.

البرهان

لتكن R, Q نقطتين ثابتتين ، P نقطة على المحل الهندسي (انظر الشكل 3-28). لرسم $\overline{PR}, \overline{PQ}$ ، ونشئ $\overline{PN} \perp \overline{RQ}$ ، ويستخدم نظرية فيثاغورس نحصل على

$$(PR)^2 - (RN)^2 = (PN)^2 , (PQ)^2 - (QN)^2 = (PN)^2$$

إذن ،

$$(PR)^2 - (RN)^2 = (PQ)^2 - (QN)^2$$

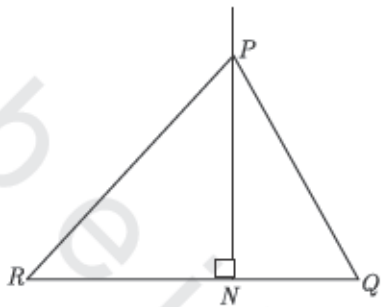
$$(PR)^2 - (PQ)^2 = (RN)^2 - (QN)^2 = k$$

نفرض أن $d = RQ$ ، وبتحليل المطابقة الأخيرة نحصل على :

$$(RN + QN)(RN - QN) = k$$

أو $d(RN - QN) = k$ ، ومنه نجد أن :

$$RN - QN = \frac{k}{d} \quad (I)$$



شكل 3-28

تذكر أن

$$RN + QN = d \quad (II)$$

بحل المعادلتين (I) ، (II) نحصل على :

$$RN = \frac{d^2 + k}{2d} , \quad QN = \frac{d^2 - k}{2d}$$

وهذا يحدد موضع النقطة N ، ولأن كلاً من d, k ثابتان في جميع الحالات ، فالنقطة P يجب أن تقع على المستقيم العمودي على \overline{RQ} عند النقطة N ، والتي تقسم \overline{QR} حسب النسبة :

$$\frac{RN}{QN} = \frac{d^2 + k}{d^2 - k}$$

نستطيع استنتاج برهان أن هذا هو المثلث الهندسي بتوضيح أن أي نقطة تقع على \overline{PN} تحقق الشرط المعطى ، وستترك ذلك للقارئ . ●

نظيرية 12 - 3 تساعدنا على استكمال دراسة المحاور الأساسية Radical Axes ، والآن علينا أن نعيّن المحور الأساسي لدائرتين غير متقطعتين ، وحدسنا يشير إلى تحقيق ذلك في النظرية التالية .

نظيرية 13 - 3 المحور الأساسي لدائرتين غير متقطعتين ، هو خط مستقيم عمودي على خط مركزيهما.

نظيرية 13 - 3

البرهان

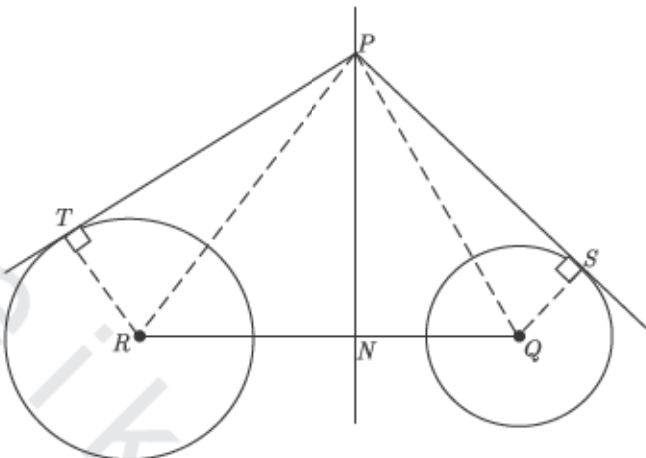
سنبدأ بفرض أن نصفي قطرى الدائرتين R, Q هما r, q على الترتيب . وكذلك نفرض أن النقطة P على محل الهندسي المطلوب ، وحيث إن القطعتين المماستين $\overline{PT}, \overline{PS}$ متطابقتان (انظر الشكل 29 - 3) . فبتطبيق نظيرية فيشاغورس على المثلثين PTR, PSQ نحصل على :

$$(PR)^2 - r^2 = (PT)^2 , \quad (PQ)^2 - q^2 = (PS)^2$$

ولكن $PT = PS$ ؛ إذن :

$$(PR)^2 - r^2 = (PQ)^2 - q^2 \quad or \quad (PR)^2 - (PQ)^2 = r^2 - q^2$$

لأن الطرف الأيمن من المطابقة ثابت ، فإننا نستنتج (باستخدام نظيرية 12 - 3) أن محل الهندسي للنقطة P هو الخط المستقيم الذي يحتوي نفس النقطة P والذي هو عمودي على \overline{RQ} ● .



شكل 3 - 29

بطريقة مماثلة لتلك المستخدمة في البرهان السابق يمكننا تعين موضع النقطة N بدلالة نصفي القطرين والمسافة بين مركزي الدائريتين. و كنتيجة مباشرة لنظرية 13 - 3 ، لدينا النظرية التالية.

المحاور الأساسية لثلاث دوائر مراكزها ليست على استقامة واحدة تلتقي في نقطة واحدة.

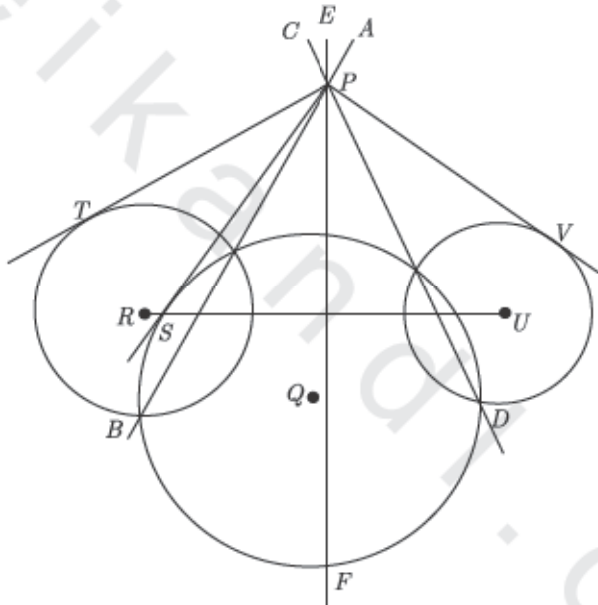
نظرية 14-3

البرهان

دعنا نعتبر أن الدوائر الثلاث هي U, R, Q ، وأن محاورها الأساسية هي $\overline{AB}, \overline{CD}, \overline{EF}$ (انظر الشكل 30 - 3). نفرض أن P نقطة تقاطع $\overline{PT} = \overline{PS}$ باستخدام المحور الأساسي \overline{AB} للدائريتين R, Q نحصل على $\overline{PV} = \overline{PS}$ وباستخدام المحور الأساسي \overline{CD} للدائريتين U, Q نحصل على $\overline{PV} = \overline{PT}$ (لاحظ أن $\overrightarrow{PT}, \overrightarrow{PS}, \overrightarrow{PV}$ مماسات للدوائر المعطاة)، إذن $\overline{PT} = \overline{PV}$ ، وهذا يدل على أن

النقطة P يجب أن تقع على المحور الأساسي \overline{EF} للدائرتين R, U ، وهذا يثبت أن المحاور الأساسية تقاطع في نقطة واحدة P .

- على $\overline{PV} = \overline{PS}$ (لاحظ أن $\overline{PT}, \overline{PS}, \overline{PV}$ ماسات للدوائر المعطاة) ، إذن $\overline{EF} = \overline{PT}$ ، وهذا يدل على أن النقطة P يجب أن تقع على المحور الأساسي \overline{PV} للدائرتين R, U ، وهذا يثبت أن المحاور الأساسية تقاطع في نقطة واحدة P .



شكل 3 - 30

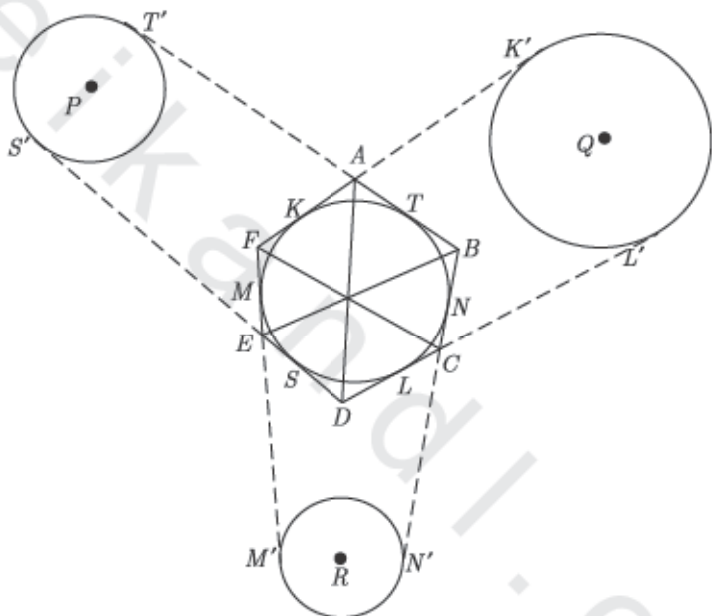
بعد أن عرضنا موضوع المحور الأساسي ، نحن جاهزون الآن لبرهنة نظرية براينشون Brianchon's Theorem ، والتي كما قد ناقشناها في وقت سابق في هذا الفصل. وقد قدم هذا البرهان سموجرفيشكى Smogorzhevski في كتابه " المسطرة في الإنشاءات " الهندسية

"The Ruler in Geometrical Constructions, New York: Blaisdell Publishing Company, 1961 ,pp.33-35"

**نظريّة
15-3**

(نظريّة براينشون) إذا أنشئ سداسي يحيط بدائرة ، فإن المستقيمات المارة برؤوس السداسي المتقابلة تتقاطع في نقطة واحدة.

البرهان



شكل 3 - 31

كما يبدو في الشكل 3 - 31 ، أضلاع الشكل السداسي $ABCDEF$ تمس الدائرة في النقاط T, N, L, S, M, K فقد تم اختيارها على $\overline{FE}, \overline{DE}, \overline{BA}, \overline{FA}, \overline{DC}, \overline{BC}$ على الترتيب ، بحيث :

$$. KK' = LL' = NN' = MM' = SS' = TT'$$

لنشئي الآن الدائرة P التي تمس كلاً من $\overline{BA}, \overline{DE}$ في النقاط T', S' على الترتيب (بسهولة يمكن تبرير وجود هذه الدائرة). بالمثل ننشئ الدائرة Q التي تمس كلاً من $\overline{FA}, \overline{DC}$ في النقاط K', L' على الترتيب، وأخيراً ننشئ الدائرة R التي تمس كلاً من $\overrightarrow{FE}, \overrightarrow{BC}$ في النقاط M', N' على الترتيب أيضاً.

لأن القطعتين المماستين المرسومتين من نقطة خارج دائرة لهما نفس الطول، إذن $FM = FK$ ، ولتكنا بالفرض نعلم أن $MM' = KK'$ ، إذن بالجمع نحصل على :

$$FM' = FK'$$

وبالمثل :

$$CL = CN, LL' = NN'$$

بالطريقة نجد أن :

$$CL' = CN'$$

الآن، وبقليل من الملاحظة، نرى أن النقاطين F, C كل منهما نقطتا النهاية للقطعتين المماستين المتطابقتين للدائرةتين Q, R . إذن، هاتان النقطتان تحددان المحور الأساسي \overline{CF} للدائرةتين R, Q .

وباستخدام نفس الأسلوب، سنجده بسهولة أن \overrightarrow{AD} هو المحور الأساسي للدائرةتين P, Q ، و \overrightarrow{BE} هو المحور الأساسي للدائرةتين R, P .

قد أثبتنا سابقاً (نظرية ٣ - ١٤) أن المحاور الأساسية لثلاث دوائر مراكزها ليست على استقامة واحدة (مشى مشى) تتقاطع في نقطة واحدة، ولهذا $\overline{CF}, \overline{AD}, \overline{BE}$ تتقاطع في نقطة واحدة.

لاحظ أن الطريقة الوحيدة التي تجعل مراكز الدوائر الثلاث على استقامة واحدة هي أن تتطابق الأقطار وهذا مستحيل.

تدريبات

1. الأضلاع $\overline{AB}, \overline{BC}, \overline{CD}, \overline{DA}$ تمثل أضلاع الشكل الرباعي $ABCD$ والذي يقطعها خط مستقيم في النقاط K, L, M, N على الترتيب. أثبت أن

$$\frac{BL}{LC} \cdot \frac{AK}{KB} \cdot \frac{DN}{NA} \cdot \frac{CM}{MD} = 1$$

2. في المربع $ABCD$ مددنا الضلع \overline{AB} إلى النقطة P بحيث $BP = 2(AB)$ ، إذا كانت النقطة M متصرف \overline{BC} ، و $\overline{BM}, \overline{AC}$ يتقاطعان في Q ، وكذلك $\overline{PQ}, \overline{BC}$ يتقاطعان في R . استخدم نظرية منيلوس لتحصل على قيمة النسبة

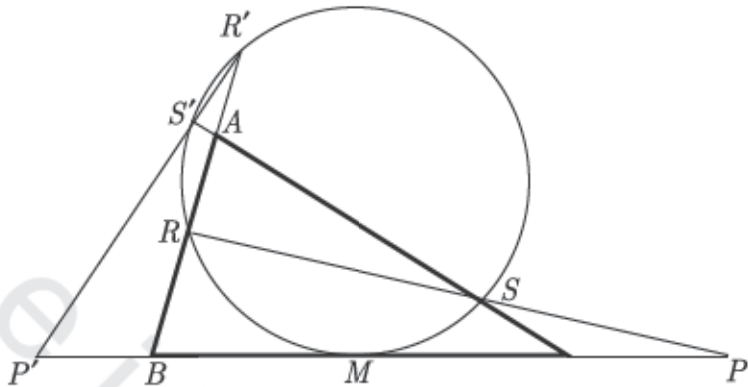
$$\cdot \frac{CR}{RB}$$

3. في المثلث ABC ، النقطان P, R تقعان على $\overline{AB}, \overline{AC}$ على الترتيب بحيث $\overline{PR} \perp \overline{AM}$. أثبت أن المتوسط $\overline{AP} \cong \overline{AR}$ مع $\overline{AB}, \overline{AC}$.

4. أثبت أن محاسات الدائرة المحيطة بالمثلث ABC عند رؤوسه تقطع الضلع المقابل في المثلث في ثلاثة نقاط تقع على استقامة واحدة .

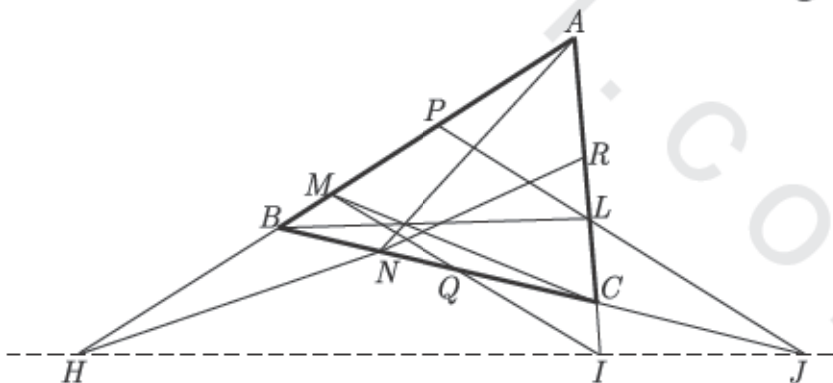
5. أثبت أنه إذا كان الخط المستقيم المار ب نقطة تقاطع المتوسطات G في المثلث ABC ويقطع كلاً من $\overleftrightarrow{AB}, \overleftrightarrow{AC}$ في نقطتين M, N على الترتيب فإن $(AM)(NC) + (AN)(MB) = (AM)(AN)$.

6. الدائرة التي تمس الضلع \overline{BC} عند نقطة متصرفه M في المثلث ABC ، تقطع أيضاً $\overleftrightarrow{AB}, \overleftrightarrow{AC}$ في S, S', R, R' على الترتيب. إذا مددنا $\overleftrightarrow{RS}, \overleftrightarrow{R'S'}$ ليقطعوا \overleftrightarrow{BC} على الترتيب (انظر الشكل 32 - 3). فأثبت أن $(BP)(BP') = (CP)(CP')$



شكل 3 - 32

7. في المثلث ABC ، النقاط P, Q, R هي متصنفات الأضلاع $\overrightarrow{AB}, \overrightarrow{BC}, \overrightarrow{AC}$ على الترتيب ، $\overrightarrow{AN}, \overrightarrow{BL}, \overrightarrow{CM}$ تتقاطع في نقطة واحدة وقطع الأضلاع المقابلة في \overrightarrow{PL} على الترتيب. إذا كان \overrightarrow{PL} يقطع \overrightarrow{BC} في النقطة J ، \overrightarrow{MQ} يقطع \overrightarrow{AC} في النقطة I ، \overrightarrow{RN} يقطع \overrightarrow{AB} في النقطة H ، فأثبت أن النقاط J, I, H تقع على استقامة واحدة (انظر الشكل 33 - 3).



شكل 3 - 33

8. إذا التقى الماسان المشتركان الخارجيان للدائرتين O, Q في النقطة M ، والتقى الماسان المشتركان الخارجيان للدائرتين O, S في النقطة N ، والتقى الماسان

المشتراكان الخارجيان للدوائرتين Q, S في النقطة L ، فأثبتت أن M, N, L تقع على استقامة واحدة إذا علمت أن الدوائر الثلاث لا يوجد منها اثنتان متطابقتان ولا يوجد منها اثنتان لهما المركز نفسه.

9. أثبتت أن نقاط تقاطع المنصفات العمودية للمنصفات الداخلية لزوايا أي مثلث مع أضلاع المثلث المقابلة لتلك الزوايا تقع على استقامة واحدة.

10. مستخدماً نظرية منيلوس ، قدم برهاناً للتطبيق رقم ٦.

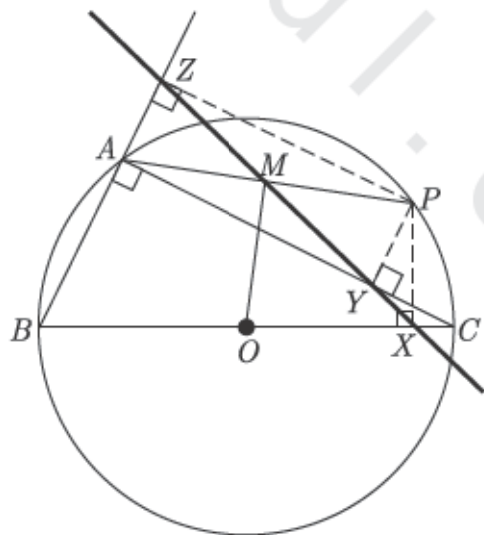
11. وضح كيف تستخدم نظرية براينشون في إثبات وجود نقطة جيرجون في المثلث ؟

12. قارن بين نظريتي بابوس ، وباسكار.

13. اكتب ثم برهن عكس نظرية ديزارغ.

14. اكتب ثم برهن عكس نظرية سيمسون.

15. على الشكل ٣ - ٣٤ ، ΔABC قائم في A ومرسوم داخل دائرة O . خط سيمسون للنقطة P بالنسبة للمثلث ABC يلاقي \overline{PA} يلاقي M في النقطة M . أثبتت أن \overline{MO} عمودي على \overline{PA} عند النقطة M .



شكل ٣ - ٣٤

16. من النقطة P على محيط الدائرة O ، رسمنا ثلاثة أوتار لاقت الدائرة في النقاط A, B, C . أثبت أن الدوائر الثلاث التي أقطارها $\overline{PA}, \overline{PB}, \overline{PC}$ تقاطع في ثلاثة نقاط تقع على مستقيم واحد.
17. إذا أنشأنا مثلثين داخل دائرة واحدة، ومن نقطة واحدة على الدائرة رسمنا خطين سيمسون لكل من المثلثين. أثبت أن الزاوية المقصورة بين خطين سيمسون هي مقدار ثابت وذلك بغض النظر عن وضع هذه النقطة.
18. أثبت أن القطع المماسة لدائرتين (إذا وجدت)، فإن المحور الأساسي لهاتين الدائرتين ينصفها.
19. أثبت أن المحور الأساسي لدائرتين قطرهما هما قطران شبه منحرف، يمر بنقطة تقاطع ضلعي شبه المنحرف غير المتوازيين .
20. أثبت أن النقاط الأربع الناتجة من تقاطع مستقيمين قاطعين لدائرتين وللذين هما مرسومان من نقطة تقع على المحور الأساسي لهاتين الدائرتين ، تقع على دائرة ثالثة (أي تشكل رؤوس رباعي دائري).